

Spectrophotometric-Continuous Flow Injection Analysis(S-CFIA) For The Determination of Cobalt(II) Ion in River&Alloy Samples Via The Use of 10,10-Dimethyl 9,9-Diacridinium Dinitrate Salt- Hydrogen Peroxide in Alkaline Medium

التحليل الطيفي بالحقن الجرياني المستمر لتقدير ايون الكوبالت(II) في نماذج من مياه النهر والسبائك بوساطة : ملح 10,10-ثنائي مثيل 9,9-ثنائي اكردينيوم ثانـي النترات- بـيرـو كـسـيد الـهـيدـروـجيـن فـي الـوـسـط الـقـاعـدي

ا.د.عصام محمد علي شاكر ا.د.نعم شاكر تركي العوادي
قسم الكيمياء – كلية العلوم – جامعة بغداد / بغداد – العراق

الخلاصة:

تم تطوير طريقة تحليلية طيفية سريعة وحساسة لتقدير الكوبالت(II) في المحاليل المائية ونماذج من مياه النهر أو السبائك باستخدام منظومة حقن جرياني مستمر (صممت محليا). استندت الطريقة على أكسدة جزيئه الليوسجينين بوساطة بـيرـو كـسـيد الـهـيدـروـجيـن فـي وـسـط قـاعـدي وـتـكـوـين مـرـكـب وـسـطـي يـكـون مـعـقد مـلـون وـمـسـتـقر مع اـيـون الـكـوـبـالـت(II) ذـي لـون أحـمـر – بنـي وـقـيـسـتـ المـمـتـصـيـة لـهـ عـنـدـ 405 نـانـوـمـيـتر. تمـ الـحـصـول عـلـى عـلـاقـة لـتـغـيـرـ المـمـتـصـيـة مـعـ التـرـكـيز لـايـون الـكـوـبـالـت(II) بمـدى لـمـنـحـيـ المـعـاـيـرـة (100-0) مـكـغـ.مـلـ⁻¹ وـبـنـسـبـة خـطـيـة 99.39% أـمـا حـدـ الـكـشـفـ (L.O.D) (S/N=3) (L.O.Q) 1.2 نـانـوـغـرامـ/أـنـمـوذـجـ منـ التـخـفـيفـ التـرـيجـيـ لـأـقـلـ تـرـكـيزـ فـيـ مـنـحـيـ المـعـاـيـرـةـ وـحدـ التـقـدـيرـ الـكـمـيـ (L.O.Q) 6 نـانـوـغـ/أـنـمـوذـجـ. الانحرافـ الـقـيـاسـيـ النـسـبـيـ (R.S.D%) لـ 10 مـكـغـ.مـلـ⁻¹ مـنـ الـكـوـبـالـت(II) 0.6% (n=8)، وبـمـعـدـلـ نـمـذـجـة 40 أـنـمـوذـجـ/سـاعـةـ وـحـجمـ لـأـنـمـوذـجـ مـحقـقـ 150 مـاـيكـرـولـترـ. طـبـقـ الـطـرـيـقـةـ بـنـجـاحـ لـتقـدـيرـ اـيـونـ الـكـوـبـالـت(II) فـيـ نـمـاذـجـ مـخـتـلـفـ (مـيـاهـ النـهـرـ أوـ السـبـائـكـ). أـجـرـيـتـ مـقـارـنـةـ بـيـنـ الـطـرـيـقـةـ الـمـسـتـحـدـثـةـ (الـحقـنـ الـجـريـانـيـ الـطـيفـيـ)ـ وـالـطـرـيـقـةـ الـتـقـلـيـدـيـ لـلـقـيـاسـ الـطـيفـيـ لـلـنـمـاذـجـ الـمـخـتـلـفـ باـسـتـخـدـامـ مـنـحـيـ الإـضـافـاتـ الـقـيـاسـيـةـ وـذـلـكـ بـإـخـضـاعـهـ إـلـىـ اـخـتـيـارـ tـ-المـزـدـوجـ وـتـبـيـنـ أـنـ لـيـوـجـدـ فـرـقـ جـوـهـريـ بـيـنـ الـطـرـيـقـتـيـنـ، وـعـلـىـ هـذـاـ الأـسـاسـ بـإـلـمـاكـ انـتـخـابـ الـطـرـيـقـةـ الـمـسـتـحـدـثـةـ كـبـدـيلـ لـلـطـرـيـقـةـ الـتـقـلـيـدـيـةـ.

الكلمات المفتاحية: التحليل بالحقن الجرياني، القياس الطيفي، اللوسجينين، تقدير الكوبالت(II).

Abstract:

A newly spectrophotometric analytical method characterized by its speed and sensitivity was developed for the determination of Cobalt ions in pure, river water and alloys, using homemade continuous flow injection. The method is based on the oxidation of Lucigenin by hydrogen peroxide in alkaline medium to produce N-methyl acridine which gives with Co(II) a red-brown color complex($\lambda_{max}=405nm$). Linear dynamic range for the absorbance versus Cobalt(II) concentration was $0.0-100\mu g.ml^{-1}$, the percentage linearity ($r^2\%$) was 99.39%, while the L.O.D (S/N=3) was 1.2ng/sample from the step wise dilution for the minimum concentration of lowest concentration in the linear dynamic ranged of the calibration graph with L.O.Q was 6ng/sample. R.S.D% for the repeatability (n=8) was 0.6% for the determination of Cobalt(II) with concentration of $10\mu g.ml^{-1}$, through put 40 sample.hr⁻¹, sample volume 150 μl . The method was applied successfully for the determination of Cobalt(II) in different samples. A comparison was made between the newly developed method of analysis(S-CFIA) with classical of analysis using the standard addition method via the use of paired t-test. It shows that there was no significant difference at $\alpha=0.05$ (95% confidence interval) between the two methods. Therefore, the newly developed method can be adopted as an alternative method for the analysis of Cobalt(II).

Keywords: Flow injection analysis, Spectrophotometric, Lucigenen, Cobalt(II) determination

المقدمة:

بعد الكوبالت من الفلزات الفيرو-مغناطيسية (ferromagnetic) وبكثافة نوعية 8.9 ، ولا يتواجد بصورة نقية في الطبيعة وإنما بشكل مركبات واغلبها شائعة الاستخدام، وكبيات صغيرة منه تتواجد في معظم الصخور والتراب والنباتات والحيوانات. يحرر الكوبالت بوساطة الاختزال الانصهاري، ويعد قاسياً ولماعاً ذو هيئة مشابهة للفضة. استخدمت الإصبع الزرقاء المعتمدة على الكوبالت منذ القدم في المجوهرات وأنواع الفلاند وكذلك لإضافة لون مميز للزجاج [1].

يستخدم الكوبالت في تحضير سبانك ذات صلادة عالية وتقاوم للتأكل وذو مغناطيسية. تعطي سليكات الكوبالت واللومينات الكوبالت(II) (CoAl_2O_4) (الكوبالت الأزرق)) لوناً ازرق غامق مميز للزجاج والسيراميك والأجبار وأنواع الطلاء، وبعد من المعادن الضرورية في التغذية وكذلك لكل الحيوانات وتعتبر الصيغة اللاعضوية له كمادة فعالة للبكتيريا والطحالب والاشنات ويدخل الكوبالت كمرکز كمرين فعال في بعض الإنزيمات بشكل cobalamins coenzymes ويدعى B_{12} ومن الأمثلة الشائعة لهذا الصنف هو فيتامين [2].

بعد الكوبالت من الفلزات المختزلة الضعيفة ويتجنب الأكسدة بوساطة تكوين طبقة واقيّة من اوكسيد الفلز نفسه، ويهاجم من قبل الالهوجينات والكبريت. ينتج الكوبالت بوجود الحرارة مع الأوكسجين اكاسيد الكوبالت Co_3O_4 والتي تخسر الأوكسجين عند التسخين إلى 900°C لإعطاء الاوكسيد الأحادي CoO .

تشمل حالات التأكسد للكوبالت بين +2 و +3 بالإضافة إلى وجود مركبات معروفة له بحالات أكسدة تتراوح بين -3 إلى +4، إلا إن حالة التأكسد الشائعة للمركبات السبيطة له هي +2 وان أملاح الكوبالت(II) تكون عادة بلون وردي-احمر وبهيئة معقدات مائية $[\text{Co}(\text{H}_2\text{O})_6]^{+2}$ ، وان إضافة ايون الكلوريد له يعطيه لون ازرق غامق، وهناك العديد من اكاسيد الكوبالت المعروفة ومنها اوكسيد الكوبالت الأخضر والذي يتآكسد بوجود الأوكسجين لتكوين هيدروكسيد الكوبالت الثلاثي ذو اللون البني $[\text{Co}(\text{OH})_3]$. نظراً لأهمية هذا العنصر فهناك العديد من الطرق لتقديره وعدد كبير منها استندت على التحليل الطيفي اللوني بفضل قابلية الكوبالت(II) على تكوين معقدات ملونة مع العديد من الكواشف المخلية والكلابية مثل a-Benzilmonoxime مكوناً معقد بلون اصفر وقيست المتصدية له عند 380 نانومتر وبحد كشف 0.01 مكم.مL⁻¹ وعلى هذا الأساس قدر الكوبالت(II) في امبول فيتامين B₁₂ و B-complex [4] و methyl-2-pyridyl ketone oxime [5] باستخدام مصفوفة خطية من الألياف البصرية [5] ومن خاللها قدر في إن واحد كل من البلايديوم(II) والكوبالت(II) وبحد كشف (0.2, 0.25) مكم.مL⁻¹ على التوالي.

و في وسط قاعدي وبالاقتران مع مطيافية الامتصاص الذري اللهي (FAAS) قدر كل من Ni(II) ، Co(II) ، Cu(II) في نماذج بايولوجية وطبيعية ومياه التصريف والتربة وبحد كشف (1.9, 2.1, 1.6) نانوغم.مL⁻¹ على التوالي [6].

وباستخدام عملية الاستخلاص(could point extraction) للتركيز المسبق لنماذج مختلفة من المياه قدر أنيا كل من $\text{Ni}(\text{II})$ $\text{Co}(\text{II})$ بعد تكوين كل منها معقد مع methyl-2-pyridyl ketone oxime acid acid cyclopentene-1-dithiocarboxylic acid 2-amino 10,7.5 مكم.لتر⁻¹ على التوالي [7]. كذلك قدر كل من الحديد(II) والنikel(II) والنحاس(II) في إن واحد خلال تقدير الكوبالت(II) في الأوساط البايولوجية والسبائك باستخدام مطيافية (UV-Vis)

وباستخدام الكاشف الكاثف 1,5-bis(di-pyridylmethylene)thiocarbonohyazide [8] وبذلك كواشف أخرى قدر من خاللها بعض الايونات (Zincon Co(II) مثل Fe(II) ، Cu(II) ، Zn(II) [9] 2-hydroxy-1-Naphthaldehyde-p-hydroxybenzoic hydrozone أو 2-hydroxy-1-Naphthaldehyde-p-hydroxybenzoic hydrozone [10].

مع اكتشاف تقنية الحقن الجرياني المستمر [11] والتي برزت من جميع التقنيات لما تمتاز من بساطة وقلة كلفة وسرعة التحليل وبتكرارية عالية و بطريقة اوتوماتية وبقدرة زمنية قصيرة جداً وباستهلاك قليل من المحاليل المتفاعلة وعلى هذا الأساس فهناك العديد من التطبيقات لتقدير الكوبالت(II) من خلال اقتران هذه التقنية مع طرق القياس الطيفي اللوني [12] وتفاعلات البريق الكيميائي [13] استناداً على دورة كعامل محفز لعملية الأكسدة لللومينال وتوليد ضوء البريق [14] وبالتالي زيادة الفلوررة المحفزة بفعل البريق (مصدر داخلي للتشعيع) باستخدام جزيئات متغيرة مثل الفلورسين ورودامين6G أو رودامين-B [15]، أو تأثيره الاخمادي للفلوررة الناتجة من رودامين-B [16].

على الرغم من حساسية هذه الطرق إلا أنها تواجه مشاكل متعددة في الانتقائية خصوصاً في نماذج من المياه والأوساط البايولوجية أو نماذج من الطعام بفعل التواجد الوفير للإيونات الفلزية : Zn(II), Ni(II), Fe(III), Cu(II) والتي تسبب تداخلها واضحاً وجوهرياً.

اما الدراسة الحالية فاعتمدت على استخدام جزيئه الليوسجين (احد جزيئات البريق الكيميائي الفعالة) والتي تؤكسد ببيرو كسيد الهيدروجين في الوسط القاعدي دون الحاجة إلى عامل مساعد معطيّة مركب وسطي (N-methyl acridine N) يكون معقد ملون ومستقر مع ايون الكوبالت(II) بلون احمربني يقايس طيفياً بمنظومة حقن جرياني مستمر طيفية مصنوعة محلياً واستناداً لها التفاعل قدر الكوبالت(II) في نماذج من السبائك ومياه الأنهر.

**الجزء العلمي
المواد الكيميائية**

حضرت جميع الكواشف باستخدام الماء اللايوني.

الحاليل القياسية:

الليوسجين(10.5105 غم في لتر من الماء المقطر، (Co(II) 1000 مكمغم.مل⁻¹) : إذاية 4.9383 غم من Co(H₂O)₆.6H₂O لكل لتر من الماء المقطر، KOH (0.1 مول.لتر⁻¹) من إذاية 5.600 غم.لتر⁻¹ وبورو كسيد الهيدروجين (60% 17.64 مول.لتر⁻¹) بتجفيف 11.33 مل من H₂O₂ (Solvay) في 2لتر ماء مقطر للحصول على 100 مللي مول.لتر⁻¹ (منه. تم ضبط المolarية مع محلول قياسي من KMnO₄ (100 مللي مول.لتر⁻¹) في وسط حامض الكبريتيك(1:8 V/V)).

حضرت الايونات الدخيلة(الموجبة والسلبية) بتراكيز 1000 مكمغم.مل⁻¹ :- Pb(II) : 0.7992 غم من Pb(NO₃)₂ في 500 مل ماء مقطر، Cu(II) : 1.9011 غم من Cu(NO₃)₂.3H₂O لكل 500 مل ماء مقطر، Ni(II) : 2.4770 غم/500 مل من 1.5250 : Mg(II) , FeSO₄(NH₄)₂.SO₄.6H₂O غم/250 مل من 1.7543 : Fe(II) , Ni(NO₃)₂.6H₂O غم/500 مل من 3.61702 : Fe(III) ، Zn(CH₃COO)₂.2H₂O غم/250 مل من 0.8388 : Zn(II) ، Mg(NO₃)₂ غم/500 مل من 0.3749 : Fe(NO₃)₃.9H₂O.

I : 0.6540 غم/500 مل من KI ، Cl⁻ : 0.7445 غم/500 مل من KCl ، Br⁻ : 0.0514 غم/500 مل من ClO₃⁻ ، KBr 0.009% كوبالت(II). NO₂⁻ : 0.7342 غم/500 مل من KNO₃ ، KIO₃ : 0.6117 غم/500 مل من IO₃⁻ ، KClO₃ : 0.8153 غم/500 مل من NaNO₂ .

جميع الأملاح ذات نقاوة عالية ومجهزة من عدة شركات (Merk, M&B, Riedel, BDH, Fluka A.G).

تحضير الأنموذج:

- تعين الكوبالت(II) في السبانك: استخدم نوعين منها:-

الأولى:- باستخدام سبيكة الحديد عالية النقاوة 2/ B.C.S.No.260/ وتحتوي على 0.009% كوبالت(II).

الثانية:- سبيكة الحديد عالية القلاوة وبشكل حبيبات 2/ B.C.S.No.149/ وتحتوي على 0.012% كوبالت(II). تم وزن 2 غم من كل سبيكة وينقل إلى بيكر سعة 400 مل، يضاف 50 مل من مزيج HNO₃:HCl 1:1، يسخن بهدوء مع التحريك إلى أن تنتهي الأبخرة البنية، يخفف محلول إلى 100 مل، يرشح، تنفس ورقة الترشيح عدة مرات وتجمع الحاليل في قنينة سعة 100 مل وتتمكّل إلى العلامة بالماء المقطر ومنه حضرت سلسلة من الحاليل.

- تعين الكوبالت(II) في عينات من المياه

قدر الكوبالت(II) في ثلاثة نماذج (عشوانية) من مياه النهر المحيطة بمنطقة الكرادة- الجادرية.

تم سحب 1لتر من كل نموذج، رشح، وركز إلى 100 مل بالتسخين ثم سحب 10 مل من كل نموذج وخفف إلى 50 مل باستخدام قنينة حجميه ومنه حضرت سلسلة من الحاليل.

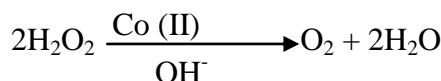
الأجهزة المستخدمة:

مضخة تمعجية فرنسية الصنع (Minipuls Gilson) ، أنابيب ناقلة للمواد المتممة للتفاعل من التفلون او متعدد البروبيلين بأقطار داخلية 0.5, 1 ملم، صمام الحقن ذو ست منافذ (U.S.A Rheodyne) ، وصلة الأنموذج من التفلون بقطر داخلي 0.5 ملم وبأطوال متغيرة، خلية الامتصاص والقياس من الكوارتز بمسار 2 ملم(شركة L.K.B)، وحدة القاء الحاليل والمصنع محلياً من الزجاج العضوي(مثيل ميثا اكريليت) لالتقاء الحاليل المتممة للتفاعل ذو مدخلين ومنفذ لنوافذ التفاعل، المنظومة الالكترونية(وحدة القياس): مصدر تشعيع من صنع ثانوي وصلة باعث للضوء الأزرق ذو شدة عالية (قابل للتغيير) بطول موجي 425 نانومتر بإبعاد (2x1) ملم، ومتحسن من صنف ثانوي وصلة فوتوليكوني، جهاز قراءة رقمي (Digital) 200 مللي فولت - 200 فولت) صيني المنشأ موديل DT-830 ، مسجل الخطوط البيانية ألماني المنشأ نوع Kompenso graph, Siemens موديل C1032 ، جهاز المطياف اللوني نوع UV-Vis ياباني المنشأ (Shimadzu).

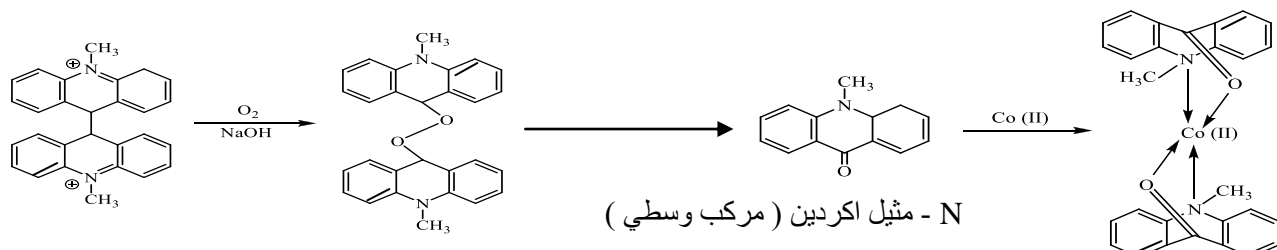
طريقة العمل:

ت تكون منظومة التفاعل(شكل رقم (1)) من ثلاث خطوط:- الخط الأول يمثل التيار الناقل لأنموذج(ماء مقطر) والمؤدي إلى صمام الحقن الذي يحقن من خلاله الأنموذج من الكوبالت(II) بحجم 150 μl وبزمن حقن 20 ثانية وسرعة جريان 1 مل.دقيقة⁻¹ والثاني: تيار بورو كسيد الهيدروجين (1 مللي مول.لتر⁻¹) وبسرعة جريان 1.5 مل.دقيقة⁻¹ يلتقي كلاً الخطان معاً عند نقطة الالتقاء والمزج ثم يعقبه ملف(طول الملف 10 سم، ونق 0.1 سم ، حجم 143 مللي لتر) لمزج الكوبالت(II) مع العامل المؤكسد من بورو كسيد الهيدروجين، إما الخط الثالث: يجهز بتيار من محلول الليوسجين(0.1 مللي مول.لتر⁻¹) في الوسط القاعدي من هيدروكسيد البوتاسيوم (20 مللي مول.لتر⁻¹) وبسرعة جريان 1.5 مل.دقيقة⁻¹ ، يلتقي محلول المزج (H₂O₂-Co(II)) بعد ملف المزج مع محلول الخط الثالث (ليوسجين - OH⁻) في ملف التفاعل (ملف زجاجي 1.13 سم³ طول الملف 36 سم ونق 0.1 سم) لتكونين القطع الملون (احمر -بني) لنظام ليوسجين - Co(II) - OH⁻ - H₂O₂ ، ومن المتوقع إن القطع الملونة ناتجة من المعدن المكون بين المركب الوسطي لـ الليوسجين (N-Methyl acridine) مع الكوبالت(II) في الوسط القاعدي والذي يتمتص عند

ارتفاع الاستجابة يتم الحصول على مقدار الجهد وبالتالي الممتصاصية (ملاي فولت) من قبل القطع الملونة . فيما يلي توضيح للميكانيكية المقترنة والتي تم اثباتها عمليا عند مزج الكوبالت(II) مع محلول بيرو كسيد الهيدروجين في الوسط القاعدي لوحظ تحرر الأوكسجين بكميات كبيرة، وهذا بعد إثبات قاطع على فهم الميكانيكية التي تحدث.

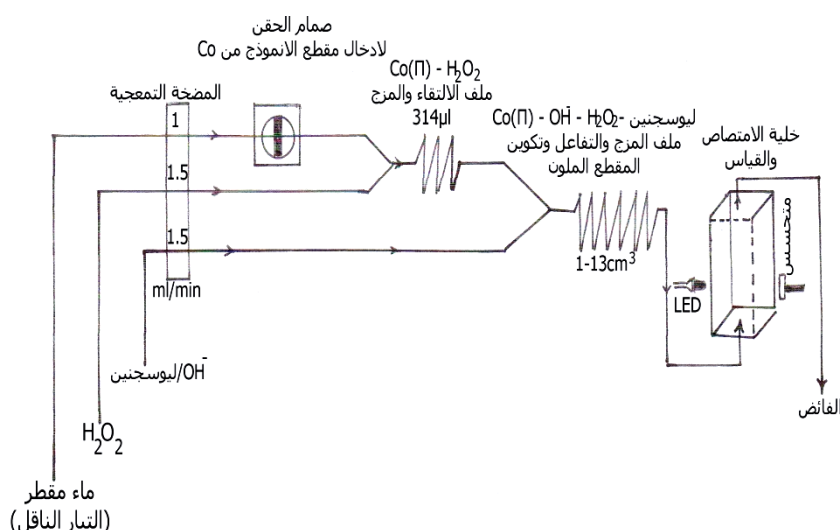


ثم يليه تكوين مركبات من البيروكسي ليوسجينين غير المستقرة والتي حالما تتكسر مؤدية إلى تكوين المركب الوسطي N-methyl acridine الذي يكون معقد مستقر مع الكوبالت(II) ، والمعادلات الآتية توضح الجزء المتبقى من الميكانيكية [17] وباستخدام الظروف التجريبية لتكون المعقد ومنظومة الحقنجرياني تم اجراء طريقة التغيير المستمر والتي من خلالها لوحظ ان نسبة الفاز : الليكائد هي 1 : 2 .



بيروكسي ليوسجينين

الفصيلة الملونة المقترنة للمعقد (احمر-بني)



شكل رقم(1): مخطط لمنظومة الحقنجرياني الطيفية لتقدير الكوبالت(II) بنظام: ليوسجينين – H_2O_2 – OH^- – $\text{Co}(\text{II})$.

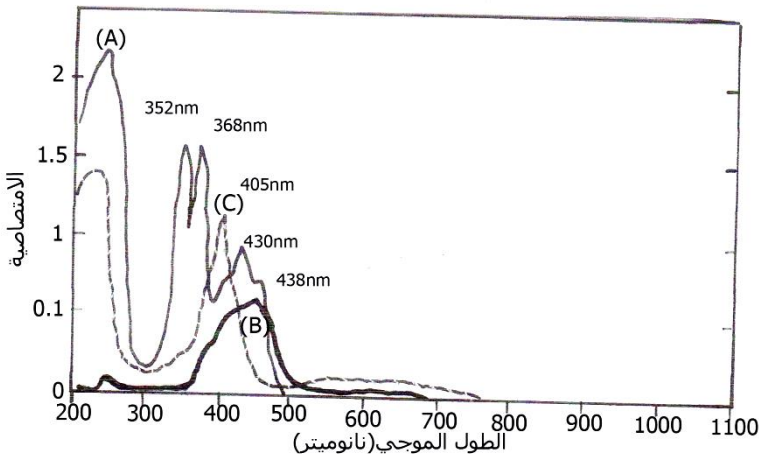
النتائج والمناقشة

الدراسة الطيفية لنظام: ليوسجينين – H_2O_2 – OH^- – $\text{Co}(\text{II})$ طيفيا

أجريت الدراسة باستخدام التراكيز التجريبية للمواد المتقابلة: الليوسجينين ($0.1\text{ مللي مول.لتر}^{-1}$) – H_2O_2 ($25\text{ مللي مول.لتر}^{-1}$) – KOH ($25\text{ مللي مول.لتر}^{-1}$) – الكوبالت(70 مل.مكم.مل^{-1}) وتم الحصول على الشكل رقم (2) والذي يظهر طيف الامتصاص لمادة الليوسجينين (محول اصفر) – شكل رقم A-2 (Mibina وجود ثلات قمم في المنطقة المرئية والتي تمتد بقمة أولية عند 352 نانوميتر وقمة أخرى عند 368 نانوميتر متباينة الشدة تقريرا, بالإضافة إلى قمة عريضة متداخلة عند 430 نانوميتر. إما عند إضافة بيرو كسيد الهيدروجين وهيدروكسيد الصوديوم إلى محلول الليوسجينين (الحصول على محلول عديم اللون) وباستخدام الليوسجينين كبلانك ثم القياس بعد مرور 2 دقائق على مرحلة المزج تم الحصول على الشكل رقم (B-2) (Mibina اختفاء طيف الامتصاص لمحلول الليوسجينين وظهور طيف بقمة عريضة عند 438 نانوميتر, ومن المحتمل إن يعزى ذلك إلى تكوين المركب الوسطي N – مثيل اكريدينيوم بفعل عملية الأكسدة لجزيء الليوسجينين في الوسط القاعدي بيرو كسيد الهيدروجين وبالنالي الحصول على طيف قد يكون مصدرة: امتصاص الشعاع الساقط على الخلية(P_0) من قبل N – مثيل اكريدينيوم,

امتصاص وحصول فلورة إثناء الامتصاص، فلورة محفزة بفعل ضوء البريق الكيميائي لـ N – مثيل اكردينيوم كمصدر داخلي للتشعيع أو اندماج هذه الأطيفات سوية.

عند مزج المحاليل لنظام: ليوسجنين – بيروكسيد الهيدروجين – هيدروكسيد البوتاسيوم – الكوبالت(II) (اخذين بنظر الاعتبار الفترة الزمنية للمزج لحين لحظة القياس والمستغرقة 50 ثانية) تم الحصول على الشكل رقم (2- C) والذي يبين اختفاء كلية المعقد المتبنته في الشكل رقم (B,A-2) (وظهور الحزمة الطيفية الممتصة عند 405 نانومتر بفعل تكوين المعقد الملون (احمر – بني) بين N-مثيل اكردينيوم وايون الكوبالت الثنائى، بالإضافة إلى إن التفاعل كان مستمراً على مدى 20 دقيقة من خلال اخذ طيف الامتصاص له، ويمكن الاستنتاج عند النظر إلى الطيف للمحاليل الممزوجة والمتممة لتفاعل تقدير الكوبالت(II) لنظام: ليوسجنين – OH⁻ - H₂O₂ - Co(II) قد تم الاستهلاك كلية لمادة الليوسجنين وتكون مركب وسطي يكون معقد ملون ومستقر مع ايون الكوبالت الثنائى في الوسط القاعدي.



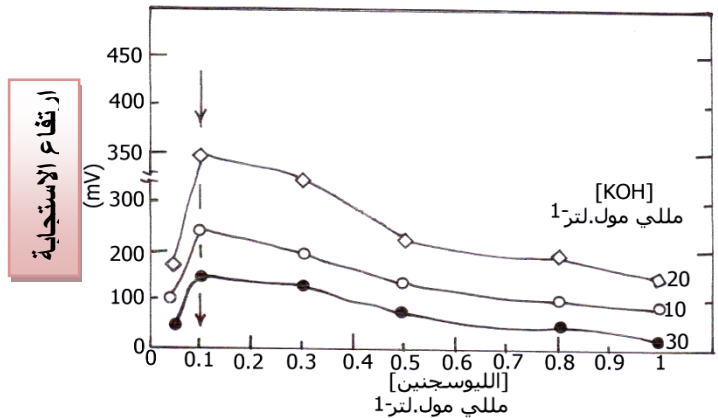
شكل رقم(2): أطيف الامتصاص للمواد المتممة لنظام تقدير الكوبالت(II): ليوسجنين- OH⁻ - H₂O₂ .
(A) : طيف الامتصاص (—) لمحلول الليوسجنين في الوسط المائي
(B) : طيف الامتصاص (—) لنظام: ليوسجنين – OH⁻ - H₂O₂ .
(C) : طيف الامتصاص (---) لنظام تكوين الفصيلة الملونة: ليوسجنين- OH⁻ - H₂O₂ - Co(II) .

الظروف الفضلى لنظام تقدير الكوبالت(II) المتغيرات الكيميائية

- تأثير التغير في تركيز الليوسجنين وهيدروكسيد البوتاسيوم

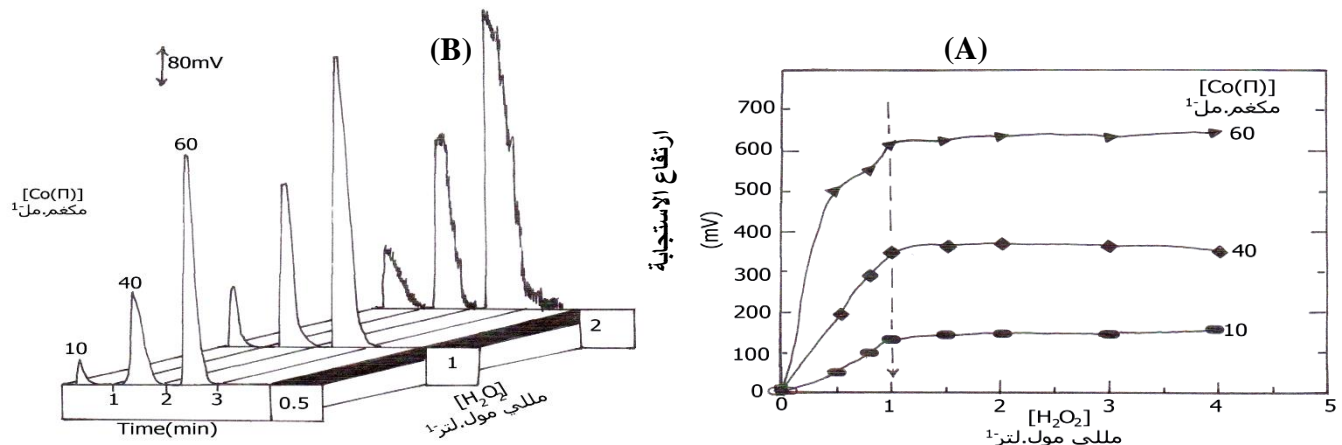
حضرت سلسلة محاليل متغيرة لمادة الليوسجنين (0.05-1 مللي مول.لتر⁻¹) ولثلاث تركيز متغيرة (30,20,10) مللي مول.لتر⁻¹ من هيدروكسيد البوتاسيوم وباستخدام تركيز تجريبي من بيروكسيد الهيدروجين 0.5 مللي مول.لتر⁻¹ وتركيز ثابت للكوبالت(II) 40 مكغم.مل⁻¹ بحجم 100 ميكروليلتر وتكرار كل قياس ثلاث مرات بمعدل تكرارية R.S.D% = 0.98% .
إن الامتصاصية المعبّر عنها بارتفاع الاستجابة (ملي فولت) تزداد مع زيادة تركيز الليوسجنين وصولاً إلى 0.1 مللي مول.لتر⁻¹ (أقصى امتصاصية) كما في الشكل رقم (3) وعند التركيز الأعلى (< 0.1) تقل الامتصاصية من خلال الانخفاض في ارتفاع الاستجابة وقد يعزى ذلك، إن زيادة تركيز الليوسجنين قد يؤدي إلى تكون مقطع ملون كثيف يحجب جزء من الضوء النافذ إلى المحتس بفعل تأثير المرشح الداخلي بناءً على ذلك تم اختيار 0.1 مللي مول.لتر⁻¹ كأفضل تركيز، وكافية تركيز الوسط القاعدي من هيدروكسيد البوتاسيوم والذي يزيد من الامتصاصية للمقطع الملون مع زيادة تركيزه وصولاً إلى 20 مللي مول.لتر⁻¹ ثم يعقبه الانخفاض في مقدار المتصاصية ومن المحتمل إن يعزى ذلك إلى ترسيب الكوبالت(II) بهيئة هيدروكسيد الكوبالت وهو الأساس في تكوين المعقد الملون بالإضافة إلى أنه عامل مؤكسد في تسريع عملية الأكسدة لجزيء الليوسجنين.

لذلك ثبت 20 مللي مول.لتر⁻¹ كأفضل تركيز للوسط القاعدي ومن المحتمل إن دور هيدروكسيد البوتاسيوم كعامل مساعد من خلال توفر مساراً مسرياً لانتقال الألكترونات وبالتالي سرعة تحرر الأوكسجين خلال عملية الأكسدة والاختزال لتكوين المقطع الملون لنظام ليوسجنين – OH⁻ - H₂O₂ - Co(II) .



شكل رقم (3): تأثير التغير في تراكيز كل من الليوسجينين والوسط القاعدي على امتصاصية المعقد الملون بدلالة ارتفاع الاستجابة وعند حجم لأنموذج محقن من الكوبلت(100): II مايكرو لتر.

- تأثير التغير في تركيز بيرو كسيد الهيدروجين
بتنبيه التراكيز الفضلى لمحلول الليوسجينين (0.1 مللي مول.لتر⁻¹) ممزوجا مع 20 مللي مول.لتر⁻¹ من هيدروكسيد البوتاسيوم وتراكيز متغيرة من بيرو كسيد الهيدروجين (0-40 مللي مول.لتر⁻¹) ولثلاث تراكيز متغيرة من الكوبلت (II) (60,40,10) مكم.مل⁻¹ بحجم 100 مايكروليت، سرعة المضخة التمعجية (سرعة تقريبية) 30، تم الحصول على الشكل رقم (4) موضحاً أنَّة عند التراكيز الواطئة (> 1 مللي مول.لتر⁻¹) الحصول على متصاصية قليلة بفعل التراكيز الواطئة لبيرو كسيد الهيدروجين والتي لا تكفي لأكسدة جزيئه الليوسجينين في الوسط القاعدي وعند التراكيز العالية (< 1 مللي مول.لتر⁻¹) تم الحصول على زيادة طفيفة في مقدار المتصاصية والحصول على استجابات بقيم عريضة غير منتظمة ومشوهه تتضمن أكتاف خلال نزول الإشارة إلى خط الأساس كما مبين في الشكل رقم (B-4-B) وقد يعزى ذلك إلى انداماج الاستجابات مع بعضها بفعل زيادة تكسير جزيئه الليوسجينين وكثافة المقطع الملون للمعقد وبالتالي استمرار الامتصاص مقابل المتصاص (حدث حالة إشباع للمنظومة الالكترونية) على هذا الأساس تم اختيار 1 مللي مول.لتر⁻¹ كأفضل تركيز لبيرو كسيد الهيدروجين للحصول على أعلى متصاصية واستجابات منتظمة (شكل رقم 4-A).



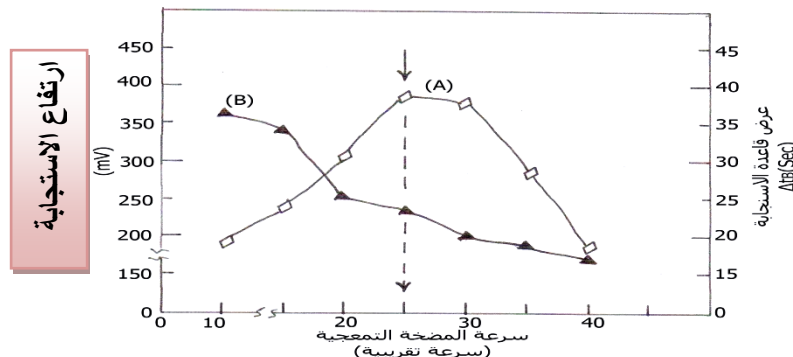
شكل رقم(4): تأثير التغير في تركيز بيرو كسيد الهيدروجين على: (A) امتصاصية المعقد الملون (B) ارتفاع وهيئة الاستجابة.

المتغيرات الفيزيائية

- تأثير التغير في سرعة الجريان

باستخدام التراكيز الفضلى للمتغيرات الكيميائية لنظام تدبر الكوبلت (II): - ليوسجينين (0.1 مللي مول.لتر⁻¹) - H₂O₂ (20 مللي مول.لتر⁻¹) - OH⁻ (40 مللي مول.لتر⁻¹) - Co(II) (40 مكم.مل⁻¹) وسرع جريان متغيرة (10-40) تم الحصول على النتائج المدونة في الجدول رقم (1) والشكل رقم (A-5) والذي يوضح أنَّة في السرع الواطئة (> 25) انخفاض المتصاصية بفعل الزيادة في تأثير المتغيرات الفيزيائية وأهمها التخفيف لمقطع الأنموذج الملون من قبل التبار الناقل بالإضافة إلى التخفيف والتشتت (بفعل التناقض والحمل) للمقطع الملون من الحجم المضافة إليه عند نقطة الانقاء والمزج والتفاعل مما يزيد من مناطق التشتت المحيطة بالجزء المركزي للمقطع الملون، إما عند السرع العالية (سرعة عتلة المضخة > 25) فعلى الرغم من قلة تأثير كافة

المتغيرات الفيزيائية ونقصان في عرض قاعدة الاستجابة Δt_B (شكل رقم 5-B) لوحظ انخفاض في مقدار الممتضية وقد يعزى ذلك إلى عدم إتمام التفاعل لتكوين الملون، على هذا الأساس ولغرض الموازنة في الحصول على أعلى ممتضية للمقطع الملون وأقل استهلاكاً للمواد الكيميائية وأقل عرض في قاعدة الاستجابة تم اختيار سرعة المضخة التمعجية 25 و التي تقابل 1 مل. دقيقة⁻¹ للتيار الناقل لأنموذج و 1.5 مل. دقيقة⁻¹ لكل من خط H_2O_2 والليوسجين في الوسط القاعدي (جدول رقم (1)) كأفضل سرعة جريان لإتمام عملية أكسدة الليوسجين في الوسط القاعدي ببiero كسيد الهيدروجين وتكوين المعدن مع الكوبالت(II)



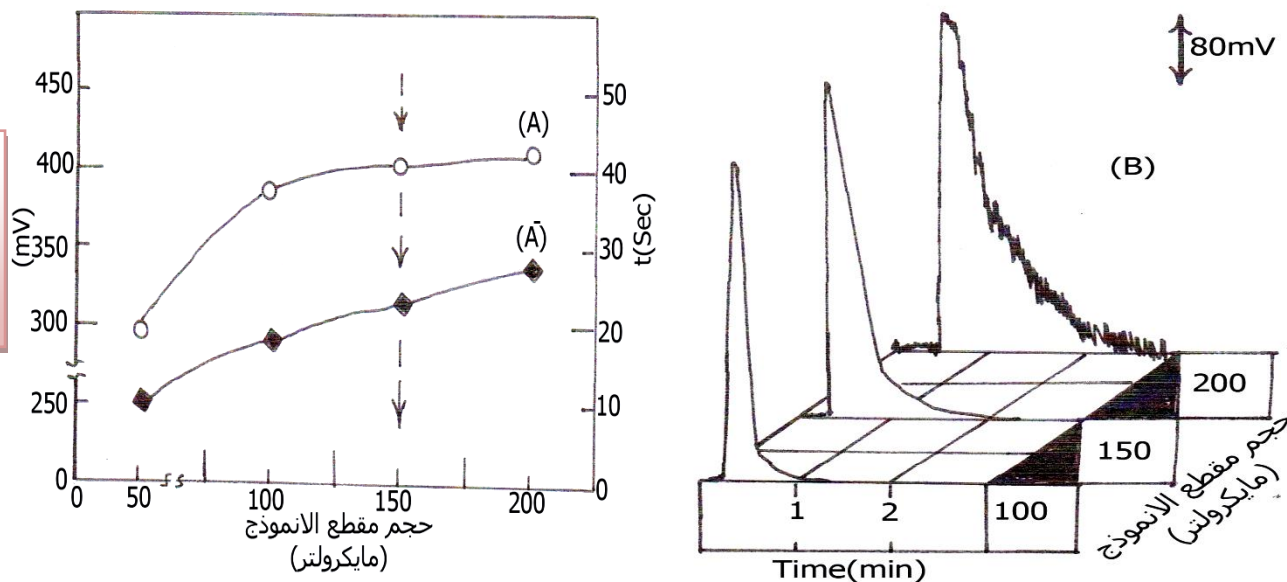
شكل رقم(5): تأثير التغير في سرعة الجريان بدلالة التغير في سرعة المضخة التمعجية على: (A) التغير في مقدار الممتضية للمقطع الملون , (B) عرض قاعدة الاستجابة Δt_B ، عند الظروف الفضلی للمتغيرات الكيميائية وعند زمن حقن 25 ثانية.

جدول رقم (1): تأثير التغير في سرعة الجريان على الممتضية للمعدن الملون بدلالة ارتفاع الاستجابة لنظام: ليوسجين - H_2O_2 - OH⁻ - Co(II) . حجم الأنموذج 100 ملليولتر.

عرض قاعدة الاستجابة Δt_B (sec)	معدل الممتضية ل $3=n$ y_i (mV)	سرعة الجريان (مل. دقيقة ⁻¹)			سرعة المضخة الالمعجية (سرعة تقريرية)
		ليوسجين OH ⁻	H_2O_2	التيار الناقل ماء (مطر)	
36	190	0.8	0.7	0.5	10
34	240	1.00	1.0	0.7	15
25	310	1.25	1.3	0.9	20
23	388	1.50	1.5	1	25
20	378	1.70	1.9	1.3	30
18	286	2.00	2.1	1.6	35
17	180	2.50	2.5	1.8	40

- تأثير التغير في حجم الأنموذج المحقن

بتثبيت الظروف الفضلی من المتغيرات الكيميائية وعند سرعة الجريان الفضلی (1.5, 1.5, 1.5) مل. دقيقة⁻¹ كل من التيار الناقل وببiero كسيد الهيدروجين والليوسجين على التوالي وبتركيز لأنموذج محقن 40 ملليون الكوبلت(II) وحجم مختلف لوصلة الأنموذج بمدى (50-200) ملليولتر تم الحصول على الشكل رقم (6- A) (موضحاً زيادة الممتضية للمقطع الملون مع زيادة حجم المقطوع الأنموذج وصولاً إلى 150 ملليولتر بليه الزيادة الطفيفة في قيمة الممتضية والحصول على استجابات بقيم عريضة وغير منتظمة كما مبين في الشكل رقم (B-6) (قد يعزى ذلك إلى إطالة المسافة المقطوعة والזמן المستغرق للتيار الناقل خلال مروره عبر صمام الحقن لضمان خروج المقطوع بأكمله من صمام الحقن مما يزيد من تأثير المتغيرات الفيزيائية وأهمها التخفيف والتشتت وبالتالي كبر حجم ومساحة المقطوع الملون وإطالة زمن بقاء إمام المتحسس، وعلى هذا الأساس تم اختيار 150 ملليولتر كأفضل حجم لأنموذج محقن للحصول على أعلى ممتضية واستجابات منتظمة وبقيم حادة، وملخص هذه الدراسة دونت في الجدول رقم (2) موضحاً إن الفترة الزمنية لوصول المقطوع الملون إلى خلية القياس هو 24 ثانية (شكل رقم (A-6)). تم حساب معامل التخفيف لمقطوع الأنموذج لحظة وصوله إلى خلية القياس والتي تساوي 11 مرة بفعل الحجوم الضافة إليه من المواد المتممة للتفاعل .



شكل رقم(6): تأثير التغير في حجم مقطع الأنموذج على : (A) التغير في قيمة الممتضية للمقطع الملون بدلالة ارتفاع الاستجابة ، (A') التغير في زمن وصول مقطع الأنموذج إلى خلية القياس(t) ، (B) ارتفاع وهيئة الاستجابة للمقطع الملون لنظام : ليوسجنين(0.1 مللي مول.لتر⁻¹) - H_2O_2 (1مللي مول.لتر⁻¹) - OH⁻ (20 مللي مول.لتر⁻¹) - Co(II) (40 مكغم.مل⁻¹) وسرعة جريان 1مل.دقيقة⁻¹ للتيار الناقل و 1.5مل.دقيقة⁻¹ لكل من H_2O_2 والليوسجنين في الوسط القاعدي.

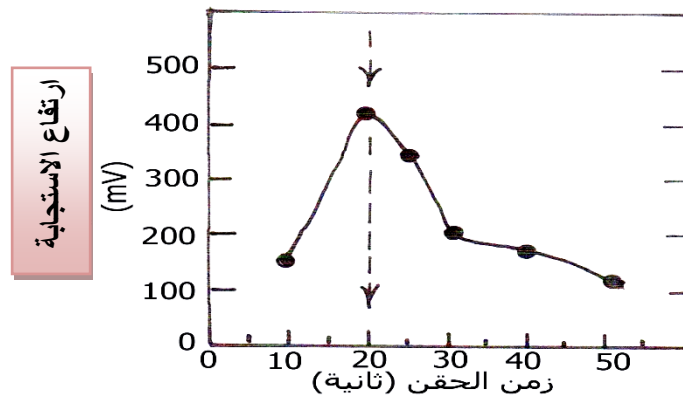
جدول رقم(2): تأثير التغير في حجم مقطع الأنموذج على نظام تقدير الكوبلت(II).

زمن وصول مقطع الأنموذج إلى خلية القياس (sec)	فاصل الثقة للمعدل عند مستوى قناعة 95% ولـ $n-1$ ($= n$)	معدل الممتضية $L = \bar{y}_i$ (mV)	حجم مقطع الأنموذج (مايكروليتر)	طول مقطع الأنموذج بقطار داخلي (cm) 0.7
10	298 ± 1.93	298	50	13
19	388 ± 1.06	388	100	26
24	400 ± 2.34	400	150	39
28	410 ± 2.48	410	200	52

$$t_{0.025, n-1} = 4.303$$

زمن الحقن

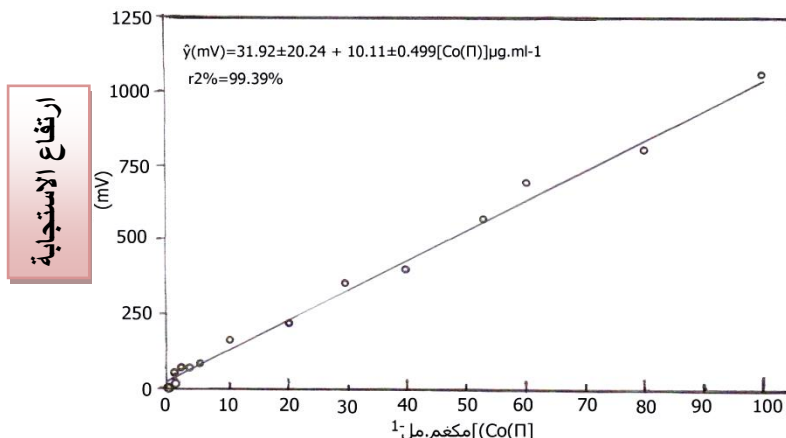
بثبتت كافة المتغيرات الكيميائية والفيزيائية واستخدام أرمان حقن متغيرة (10-50) ثانية تم الحصول على الشكل رقم (7) للتعرف على الفترة الزمنية الفضلية اللازمة لخروج مقطع الأنموذج بالكامل من صمام الحقن وبما يواكب الحصول على أعلى قيمة الممتضية واستجابات بقلم حادة ومنتظمة ولوحظ إن 20 ثانية هي أفضل فترة زمنية لاكتمال خروج مقطع الأنموذج من صمام الحقن ثم يعقبها نقصان في الممتضية للمعدن الملون قد يعزى إلى الزيادة في حجم المقطع الملون بفعل تأثير المتغيرات الفيزيائية.



شكل رقم(7): تأثير التغير في الفترة الزمنية لخروج مقطع الأنماذج باكملة من صمام الحقن على الامتصاصية بدلالة ارتفاع الاستجابة وعند حجم لأنماذج الحقن 150 مايكرو لتر.

3-3-1 تحضير منحنى المعايرة وحدود الكشف

حضرت سلسلة محاليل من الكوبالت(0) (Co(II)) بمقدار 200 مكمоль.مل⁻¹ بحجم لأنماذج الحقن 150 مايكرو لتر و زمن حقن 20 ثانية بعد تثبيت كافة المتغيرات الكيميائية: الليوسجينين (0.1 مللي مول.لتر⁻¹) - OH⁻ (0.1 مللي مول.لتر⁻¹) وباستخدام منظومة الجريان (شكل رقم (1)) تم الحصول على النتائج لعلاقة تغير المتصاصية مع التركيز (نكرار كل قياس ثلاث مرات) ومن التوزيع الطبيعي للنتائج لوحظ إن هناك علاقة خطية لمدى (0-100) مكمоль.مل⁻¹ كما مبين في الشكل رقم (8)، تتطبق عليها معادلة الدرجة الأولى وملخص نتائجها مدونة في الجدول رقم (A-3) وبالاستناد على الطرق الإحصائية [18,19] تم معالجة كافة البيانات من خلال تحليل المتغيرات وتم تلخيص نتائجها في الجدول رقم (B-3).



شكل رقم(8): علاقة تأثير التغير في التركيز لايون الكوبلت(II) على المتصاصية للمقطع الملون بدلالة ارتفاع الاستجابة وعند الظروف الفضلى: الليوسجينين (0.1 مللي مول.لتر⁻¹) - OH⁻ (0.1 مللي مول.لتر⁻¹) - H₂O₂ (0.1 مللي مول.لتر⁻¹) وبحجم لأنماذج الحقن 150 مايكرو لتر و زمن حقن 20 ثانية وسرعة جريان 1 مل.دقيقة⁻¹ للتيار الناقل لأنماذج و 1.5 مل.دقيقة⁻¹ لكل من بيرو كسيد الهيدروجين والليوسجينين/هيدروكسيد الصوديوم.

جدول رقم (A-3) : ملخص نتائج معادلة الخط المستقيم لنقدي الكوبلت(II).

معامل المتصاصية المولارية فولت.مول ⁻¹ بسم ⁻¹ لتر	t _{cal}	t _{tab} ـ n-2 و عند %95	r و %r ²	معادلة الخط المستقيم عند حدود ثقة %95 (n=14) n-2 $\hat{Y}_{(\text{mV})} = a \pm s_{at} + b \pm s_{bt} [\text{Co}]$ $\mu\text{g.ml}^{-1}$	[Co] ضمن منحنى المعايير مكمول.مل ⁻¹	[Co] المقادس مكمول.مل ⁻¹
2977.59	44.131 >> 2.179	0.9878 %99.39		$31.92 \pm 20.24 + 10.11 \pm 0.499$ [Co] $\mu\text{g.ml}^{-1}$	100-0	200-0

$$t_{cal} = /r / \sqrt{n-2} / \sqrt{1-r^2}$$

من نتائج الجدول رقم (A-3) يمكن الاستنتاج: بما إن الفرض الأساسي (H_0) إن العلاقة لا خطية وان $r = 0$ عند $t_{cal} > t_{tab}$ لأنة لوحظ من النتائج إن $t_{cal} < t_{tab} = 2.179$ (لذلك نرفض الفرض الأساسي وتقبل بالبديل (H_1) والذي يبين إن العلاقة خطية بين تغير المتخصصة مع التركيز للكوبلت(Π) وان قيمة $r \neq 0$ وإنما $r = 0.9878$.

جدول رقم (B-3): تحليل المتغيرات (ANOVA) لنتائج معادلة الخط المستقيم عند مستوى قناعة 95%.

Sig	F-statistic $F = S_1^2 / S_0^2$	درجات الحرية Df	معدل مجموع المربعات MSq Mean square	مجموع المربعات SSq Sum of Square	مصدر التباين (Source)
Sig<0.05 يوجد فرق جوهري	1947.57	$v_1=1$	1460543.7	1460543.7	(بسبب لانحدار)
		$v_2=12$	749.9326	8999.1914	Error (حول الانحدار) (الفضلة)
		$v_T=13$		1469542.9	(الكلي) Total

وبما إن قيمة F الجدولية عند حدود ثقة 95% $F_{12}^1 = F_{V2}^{V1} = 4.75$ أقل من F المحسوبة ($F_{cal} = 1947.57$)) كما مبين في الجدول رقم (B-3) لذلك يمكن الاستنتاج إن هنالك فارق بالغ الأهمية وجوهري بين التباين بفعل الانحدار (مقاييس للحالة المثلثية معادلة الخط المستقيم في تمثيل النتائج العملية) والفضلة (الخطأ) (مقاييس لمدى بعد القيم العملية (y_i) عن القيم المستحصلة من معادلة الخط المستقيم (\hat{y}_i)) مؤديا إلى زيادة قيمة F (المحسوبة) والتي تعطي فكرة عن العلاقة الوثيقة بين التغير في قيمة المتخصصة للمعد الملون مع التركيز للكوبلت(Π) .

تم دراسة حدود الكشف خلال تحضير منحنى المعايرة من التخفيف التدريجي لأقل تركيز في منحنى المعايرة، حيث تم التوجه نحو تراكيز واطئة جدا تصل إلى 8نانوغرام.مل⁻¹ وعند حجم لأنموذج محقن 150مايكوليتر(2.1نانوغرام/أنموذج)، بالإضافة إلى دراسة حد التقدير الكمي (L.O.Q) ((L.O.Q=y_B+10S_B) (Limit of quantitation (L.O.Q) والمساوي إلى 40نانوغرام.مل⁻¹ (6نانوغرام/أنموذج).

3-3-2 التكرارية

تميز العمل المنجز لتقدير الكوبلت(Π) بتكرارية (دقة) عالية، حيث كانت قيم الانحراف القياسي النسبي المئوي $R.S.D\% > 1$ وكما موضح في الجدول رقم (4) خلال تكرار القياس 8 مرات لكل تركيز (10, 40, 80) مكم.مل⁻¹ وهذا يدل على إمكانية اعتماد الطريقة كأساس لتقدير الكمي المعتمد وكبديل للطريقة التقليدية.

جدول رقم (4): تكرارية نتائج تقدير الكوبلت(Π) عند حجم لأنموذج محقن 150مايكوليتر.

زمن القياس الكلي (دقيقة)	فواصل الثقة للمعدل عند 95% $n-1$ $\hat{y}_i \pm t_{0.05/2,n-1} \sigma_{n-1} / \sqrt{n}$	التكرارية R.S.D%	الانحراف القياسي σ_{n-1}	معدل المتخصصة لـ \hat{y}_i (ملاي فولت)	[Co(Π)] مكم.مل ⁻¹
6	165 ± 0.52	0.60	0.99	165	10
8	423 ± 0.26	0.31	1.32	423	40
9	830 ± 0.20	0.24	1.98	830	80

$$t_{0.025,7}=2.365$$

3-4 تأثير الايونات الدخيلة

بتثبيت الظروف الفضلى لكافة المتغيرات الكيميائية والفيزيائية، تم دراسة فيما إذا كان هنالك تأثير لبعض الايونات (موجبة، سالبة) على امتصاصية الفصيلة الملونة (المتكونة بفعل أكسدة الليوسجين ببرو كسيد الهيدروجين في الوسط القاعدي محرا مركب وسطي يكون معد مستقر ملون مع الكوبلت(Π)) مما قد يؤدي إلى انخفاض أو ارتفاع المتخصصة وهذا يعتمد على خواص الايون الدخيل، ميكانيكية التفاعل وطبيعة سير التفاعل، ومن الايونات التي تم انتقاءها والمعتمد وجودها في المستحضرات الصيدلانية أو المياه عموما:

مجلة جامعة كربلاء العلمية – المجلد الحادى عشر- العدد الثالث / علمي / 2013

الايونات الموجبة: $Mg^{(II)}$, $Ni^{(II)}$, $Pb^{(II)}$, $Cu^{(II)}$, $Zn^{(II)}$, $Fe^{(III)}$, $Fe^{(II)}$.
الايونات السالبة: I^- , Cl^- , Br^- , NO_3^- , IO_3^- , ClO_3^- .

حضرت ثلات تراكيز للكوبالت(II) (1, 5, 10) مل⁻¹ كمرجع للمقارنة مع تأثير الايونات الدخيلة (الموجبة والساقة) وللمدى (10-1) مل⁻¹ وكما موضح في الجدول رقم (5) وحساب النسبة المئوية لتأثير التداخل على أساس النسبة بين استجابة الايون الدخيل (R_{Co}^{n+}) / مقسوم على استجابة الكوبلت(II) (R_M^{n+}).).

جدول رقم(5): نتائج تأثير الايون الدخيل على نظام تقدير الكوبلت(II): ليوسجنين (0.1 مللي مول.لتر⁻¹) - H_2O_2 (1 مللي مول.لتر⁻¹) - OH^- (20 مللي مول.لتر⁻¹) - $Co^{(II)}$ (10, 5, 1) مل⁻¹ و عند حجم لأنموذج محقن 150 مل.

نسبة (R_{Co}^{n+} / R_M^{n+}) × 100														تركيز الايون الدخيل مل ⁻¹
NO_2^-	NO_3^-	IO_3^-	ClO_3^-	Br^-	Cl^-	I^-	Mg^{+2}	Ni^{+2}	Pb^{+2}	Cu^{+2}	Zn^{+2}	Fe^{+3}	Fe^{+2}	
-1.34	-2.32	-1.65	7.32	-0.89	-1.32	-1.66	+2.11	-3.42	+8.92	-6.19	-2.56	+10.10	+5.61	1
+3.98	-2.45	-1.98	-1.08	-0.69	-1.43	-1.42	-2.92	+3.92	+9.21	+7.22	-3.23	+13.11	+18.23	5
+3.42	-2.68	+1.99	+1.01	-0.32	+1.96	+1.22	-2.99	-4.59	+19.56	+17.33	+4.67	+25.23	+22.42	10

يمكن الاستنتاج إن المنظومة ذات حساسية عالية لأن تتحسس بمقدار المتصدية مهما كانت قليلاً بفعل وجود الايون الدخيل وتعطي دلالة واضحة لإعادة النظر بنقاوة المواد الكيميائية ويمكن اعتماد هذا النظام لقياس مقدار التلوث الايوني من قبل الايونات الموجبة أو السالبة مهما كانت بتركيز ضئيل يقابلها في نفس الوقت الانتقالية العالمية لنظام تقدير الكوبلت اتجاه بعض الايونات الموجبة ، حيث أنه لا يستجيب لبعض الايونات الموجبة عندما تكون بتركيز ضئيل (اقل من 10 مل⁻¹) ، حيث إن نسبة التداخل قليلاً جداً (<5%) ولكنه يتحسس بالايونات: الحديد(II) والرصاص(II) والنحاس(II) والحديديك(III) وكافة التراكيز (10-1) مل⁻¹ وقد يعزى إلى كونها عوامل مساعدة في تحفيز تفاعل البريق الكيميائي، حيث بعد الليوسجنين أحد كواشف البريق الكيميائي والتي عند أكسستها في وسط قاعدي يوجد عامل تحرر ضوء البريق، إما الايونات السالبة فلم يلاحظ لها أي تأثير على نظام تقدير الكوبلت، حيث إن نسبة التداخل ضئيلة جداً (الاستجابة المستحصلة بارتفاع ضئيل جداً قابل للإهمال) (نسبة التداخل < 4%) ولكنه التراكيز.

3-3 مقارنة بين الطريقة التقليدية لقياس الطيفي والحقن الجرياني المستمر لنظام: ليوسجنين - H_2O_2 - OH^- - $Co^{(II)}$.
حضرت سلسلة محاليل للكوبلت(0-150) مل⁻¹ باستخدام الظروف الفضلى لتقدير الكوبلت وقيست المتصدية لكل تراكيز ثلات مرات وعند الطول الموجي الأعظم للأمتصاص (405 نانوميتر)، دونت النتائج في جدول رقم (6) ، في حين يظهر الجدول رقم (7) دلائل تبين إمكانية استخدام الطريقة المستحدثة (الحقن الجرياني) كطريقة بديلة للطرق الطيفية (UV-Vis) .

جدول رقم(6): ملخص بيانات علاقة تغير الامتصاصية مع التركيز للكوبلت (II) عند 405 نانوميتر بالطريقة الطيفية.

تركيز المقادسة مل ⁻¹	ترانز من منحنى المعايرة	التركيز المقادسة مل ⁻¹
1113.83	70-0	150-0
22.26>>2.228	0.113±0.065+0.019±0.0019[$Co^{(II)}$] $\mu g.ml^{-1}$	0.9901 %98.02

جدول رقم(7): ملخص نتائج المقارنة بين الطريقة الطيفية ومنظومة الحقن الجرياني.

الخاصية المقارن بها	الخطية (%)	الخطية (%)	الخطية (%)	الخطية (%)	الخطية (%)
معامل المتصدية المولارية (ε)	%99.39	%98.02	100-0	70-0	10.11 (الامتصاصية)/مل ⁻¹
حد الكشف العملي	10.11 فولت/مل ⁻¹	0.019	31.92 مللي فولت	0.113	(b) (الحساسية)
حجم الأنموذج	2977.59 فولت.مول ⁻¹ .لتر.سم ⁻¹	1113.83 مل	40 نانوغرام/مل	15	1113.83 مل (النذرجة (أنموذج/ساعة))
النكرارية ل n = 8	%1>	%2>			

3-6 التطبيقات : تقدير ايون الكوبالت(II) في المياه والسبائك

طبقت الطريقة التي ثبتت تفاصيلها في الفرات السابقة على تحليل وإيجاد نسبة الكوبالت في نماذج مختلفة: ثلاثة نماذج (عشوانية) من مياه النهر ونوعين من السبائك تحتوي على نسب متغيرة من الكوبالت (II) 0.012% و 0.009%. تم الاعتماد على طرفيتين لتقدير الكوبالت (II) : الطريقة المستحدثة (القياس الطيفي بمنظومة الحقن الجرياني) والطريقة التقليدية (القياس الطيفي باستخدام أسلوب الإضافات القياسية، حيث تم سحب حجم ثابت من كل نموذج إلى كل قنطرة حجميه (سعة 25 مل) مع إضافة حجوم معينة (زيادة تدريجية) من ايون الكوبالت (II) القياسي إلى القافي 6,5,4,3,2 أو 7 بحيث يكون تركيز الكوبالت (II) القياسي المحضر 0.5 و 0.15 مكغم.مل⁻¹ في حالة النماذج سبائك إما إذا كانت النماذج مياه فان التركيز (25, 20, 15, 10, 5 مكغم.مل⁻¹ وتعد القنطرة الأولى (العينة). قيست الممتضية لكل تركيز ثلاثة مرات وعند الطول الموجي الأعظم لامتصاص (405نانومتر) ودونت النتائج في جدول رقم (8).

جدول رقم(8): ملخص بيانات علاقة الممتضية مع التركيز لتقدير الكوبالت(II) باستخدام القياس الطيفي: بمنظومة الحقن الجرياني والتقلدي بأسلوب الإضافات القياسية.

[Co] μg.ml ⁻¹ أو %	t _{cal}	t _{tab}	r و % r ²	معادلة الخط المستقيم عند مستوى ثقافة 95%	نوع الأنماذج		
				$\hat{y}_i = a \pm s_a t + b \pm s_b t [Co] \mu g.ml^{-1}$			
				القياس الطيفي بمنظومة الحقن الجرياني			
%0.0089	10.96>>2.447 26.69>>2.447 24.68>>2.447 10.72 >>2.447 12.54>>2.571 20.07>>2.571 15.45>>2.571 48.56>>2.571 18.77>>2.571 11.32>>2.571	0.9798 %96.00	62.50±10.6+26.43±5.89[Co]μg/ml 0.868± 0.125 +0.388± 0.019 [Co]μg/ml	High purity Iron 260/2 %0.009	نماذج سبائك الحديد الصلب النحاس الزنك الماء		
0.0095							
%0.0119		0.9945 %98.89	73.75±5.94+33.21±3.29[Co]μg/ml 0.974± 0.195 +0.301± 0.058 [Co]μg/ml				
%0.013							
7		0.9875 %97.52	62.85±29.08+9.37±1.92[Co]μg/ml 0.169±0.034+0.017±0.002[Co]μg/ml	1			
7.12							
10		0.9917 %99.79	118.09±28.94+11.49±1.91[Co]μg/ml 0.226±0.019+0.024±0.0012[Co]μg/ml		2		
9.89							
15		0.9944 %98.88	182.38±26.83+12.94±1.77[Co]μg/ml 0.389±0.082+0.024±0.0054[Co]μg/ml				
15.11							

اما الجدول رقم (B,A-9) فيتضمن ملخص لاستخراج كمية الكوبالت (II) في نماذج المياه والسبائك على التوالي وبكل طرفيتين بأسلوب الإضافات القياسية، بالإضافة إلى مقارنة نتائج الطرفيتين وذلك بإخضاعها إلى اختبار t – المزدوج والتي تبين أنه لا يوجد فرق بين الطريقة المستحدثة والطريقة التقليدية للقياس الطيفي (المرجعية) وعند حدود ثقة 95% لأن قيمة t المحسوبة أقل من t الجدولية.

جدول رقم(A-9) : ملخص نتائج اختبار t – المزدوج للمقارنة بين طريقة القياس الطيفي المقترن بالحقن الجرياني المستمر والطريقة المرجعية للقياس الطيفي بأسلوب الإضافات القياسية وكمية ايون الكوبالت(II) في النماذج الثلاثة من مياه النهر.

قيمة t - الجدولية لـ $n-1$ عند حدود ثقة %95 $n=3$	اختبار t - المزدوج $X_d \sqrt{n}$ S_d $n=3$	الانحراف القياسي للفرق S_d	معدل الفرق X_d	الفرق (d) مكجم.مل ⁻¹	[Co(II)] مكجم.مل ⁻¹		بعد التركيز إلى 100 مل	حجم الأنموذج المسحوب 1لتر	رقم الأنموذج			
					سحب 10 مل و التخفيف إلى 50 مل							
					القياس الطيفي التقليدي (FIA)	الحقن الجرياني (FIA)						
4.303>>0.53	0.13	0.04	0.12	7.12	7	35	3.5	1				
			-0.11	9.89	10	50	5	2				
			0.11	15.11	15	75	7.5	3				

جدول رقم(B-9) : ملخص نتائج اختبار t – المزدوج للمقارنة بين الطريقتين المستحدثة (الحقن الجرياني) والمرجعية بأسلوب الإضافات القياسية لنماذج من السبائك لتقدير ايون الكوبالت(II).

كفاءة التقدير او الاستردادية (%)	فاصل الثقة لمعدل نسبة الكوبالت(II) عند 95 % ولـ $n-1$ $w(\%) \pm t\sigma_{n-1} / \sqrt{n}$ $n=10$	t_{tab} $n=2$	t_{cal} $n=2$	الانحراف القياسي للفرق S_d	معدل الفرق X_d	الفرق (d) مكجم.مل ⁻¹	[Co(II)] مكجم.مل ⁻¹ و (الوزن) غ/100 غ		تركيز الكوبالت(II) في 2 غ/100 مل $\mu\text{g.ml}^{-1}$ و (الوزن) غ/2 ملغم (نظرياً)	نوع السبيكة و %
							القياس الطيفي التقليدي (FIA)	الحقن الجرياني (FIA)		
%98.89	0.0089±0.0043	12.71>>3.37	0.071	0.12	1.90 /0.19 (%0.0095) (1.78 /0.178 (%0.0089) (1.8 (0.18) ملغم	High purity Iron (B.C.S.No. 260/2) 0.009%		
%105.56	0.0095±0.0083									
%99.17	0.0119±0.0017									
%108.30	0.013±0.0098			0.22	2.6 /0.260 (%0.013) (2.38 /0.238 (%0.0119) (2.4 (0.24) ملغم	High purity Iron granules (B.C.S.NO. 149/2) 0.012%		

$$t_{0.025,9}=2.228$$

المناقشة

اعتمد أساس البحث على تقدير الكوبلت(II) في نماذج مياه النهر والسبائك عن طريق تكوين فصيلة ملونة لنظام : $\text{Co}(\text{II}) - \text{OH}^- - \text{H}_2\text{O}_2$ بفعل الأكسدة لجزئه الليوسجين ببورو كسيد الهيدروجين في الوسط القاعدي وتكون N -مثيل اكردين الذي يكون معقد مستقر وملون مع الكوبلت (II) وبالاقتران مع منظومة حقن جرياني صممت محليا. بينت النتائج والتي تم معالجتها إحصائيا من خلال حساب الانحراف القياسي لنقطة التقاطع (S_a) والميل (S_b) وتحليل المتغيرات (ANOVA) وباستخدام معادلة الخط المستقيم إمكانية اعتماد الطريقة كبديل للطرق المتتبعة في تقدير الكوبلت (II) وبمستويات واطئة (تحسين حدود الكشف) ، حيث تم التوجه نحو تراكيز واطئة تصل إلى نانوغرام (1.2نانيغرام/150مايكروليلتر) وبمدى خطى واسع (0-100)مكغم.مل⁻¹ ، كما تم تقدير الكوبلت (II) وباستخدام منحنى الإضافات القياسية والذي أظهر أنه بالإمكان إزالة تأثير الأيونات المرافقة للكوبلت والوصول إلى استردادية مئوية عالية (كفاءة التقدير%) تتراوح بين (98.89% - 99.17%) عند التعامل بنماذج من السبائك. تم مقارنة النتائج للطريقة المستحدثة (القياس الطيفي بالحقن الجرياني) مع الطريقة المرجعية (التقليدية) وذلك بإخضاعها إلى اختبار t – المزدوج وتبيّن أنّه لا يوجد فرق جوهري بين الطريقتين مع الأخذ بنظر الاعتبار ميزات الطريقة المستحدثة من ناحية سرعة تحليل الأنماذج (40أنماذج/ساعة) والتكرارية العالية ($R.S.D \% < 1\%$) وقلة استهلاك المواد المتممة للتفاعل وبحجم لأنماذج حقن قليل جدا (بضعة ميكرولترات) مع الأخذ بنظر الاعتبار بساطة الإلية المستحدثة (صممت محليا).

References

- 1- Greenwood, N.N & Earnshaw,A, 1997, Chemistry of the elements, Butter Worth, 2nd ed, London, 1117- 1119.
- 2- Enghag, P, 2004, Encyclopedia of the elements; Technical data-history-processing-Applications, Wiley- VCH, New York, 667.
- 3- Krebs & Robert, E, 2006, The history and use of our earths chemical elements: A reference guide, Greenwood Publishing group, 2nded, USA, 107.
- 4- Eskandari, H, Ghaziaskar, H.S & Ensafi, A.A, 2001, A sensitive and simple extractive - spectrophotometric method for the determination of microgram amount of cobalt by using α-benzilmonoxime, *Anal.Sci.*, 17(2), 327-331.
- 5- Shokoufi,N, Shemirani,F & Assadi,Y, 2007, Fiber-optic-linear array detection spectrophotometry in combination with dispersive liquid-liquid microextraction for simultaneous preconcentration and determination of palladium andcobalt, *Analytical Chimica Acta*, 597(2), 349-356.
- 6- Ghaedi, M, Shokrollahi, A.,Ahmadi, F., Rajabi, H.R. & Soylak, M, 2008, Cloud point extraction for the determination of copper, nickel and cobalt ions in environmental samples by flame atomic absorption spectrophotometry, *J of hazardous materials*, 150(3), 533-540.
- 7- Safavi, A, Abdollahi, H, Hormozi Nezhad, M.R, & Kamali, R, 2004, Cloud point extraction, preconcentration and simultaneous spectrophotometric determination of nickel and cobalt in water samples, *Spectro Chimica Acta part A: Molecular and Biomolecular spectroscopy*, 60(12), 2897-2901.
- 8- Garcia Rodriguez, A.M, Garcia de torres, A, Cano pavon, J.M & Bosch Ojeda, C, 1998, Simultaneous determination of Iron, Cobalt, nickel and copper by UV-Vis spectrophotometry with multivariate calibration, *Talanta*, 47(2), 463-470.
- 9- Sabel, C.E, Neureuther, J.M & Siemann, S, 2010. A spectrophotometric method for the determination of Zinc, copper, and cobalt ions in metalloproteins using Zincon, *Analytical Biochemistry*, 337, 218-226.
- 10- Anusuya Devi, V.S & Krishna Reddy, V, 2012, Spectrophotometric determination of Iron(II) and cobalt(II) by direct, derivative and simultaneous methods using 2-hydroxy-1-naphthaldehyde-p-hydroxy benzoic hydrozone, *International J of analytical chemistry* , 2012(8), 12-20.
- 11- Inon, F.A & Tudino, M.B, 2008, Advances in flow analysis, 1st ed by merk trojanowicz, Wiley-VCH Verlag GmbH & Co.Kgaa, Weinheim, 1200.
- 12- Yamane, T, Watonabe, K & Mattala, H.A, 1988, Continuous flow system for determination of cobalt in sea and river water. In line pre-concentration separation coupled with catalytic determination, *Yamanshi Univ, Japan*, 207(1-2), 331-336, (*Anal.abs . 51(1989), 1H51*).
- 13- Garcia – Campana, A.M & Baeyens, W.R.G, 2001, *Chemiluminescence in analytical chemistry*, Marcel Dekker, Inc, New York, 1190.
- 14- Turkie, N.S & Shakir, I.M.A, 2005, New mode for the study of chemiluminescence reaction by tracking via multidetection points through optical fibers in a completely newly designed cell, P.hD thesis, Baghdad university ,230
- 15- Yousif, N.M & Shakir, I.M.A, 1993, On-line ultra trace determination of Co(II) ion and hydrogen peroxide through simulated insitu fluorescence using fluorophor molecule individually or through chain energy transfer process, M.Sc thesis, Salahaddin university, 125.
- 16- Weisz, H, Pautel, S, Diger, C.M & Glatz, U, 1984, Application of fluorescence reactions in the ring over segenture technique, *Micro Chim Acta*, 1(1-2), 69-82.
- 17- Morrison, R.T & Boyd, R.N, 1987, *Organic chemistry*, 5th ed, Allyn & Bacon, INC, Boston, London, Sydney, Toronto, 435-476.
- 18- Miller, J.C & Miller, J.N, 1988, *Statistics for analytical chemistry* , 2nd ed , John Wiley & N.Y Sons, 196.
- 19- Bluman, A.G, 1998, *Elementry Statistics*, 3rd ed , WCB/Mcgraw, NewYork, 674